

JAERI-M

5 1 6 6

原子炉構造物の振動II-12

INTERLUDE-1: モード展開法による
多質点系の地震応答解析コード

1973年2月

幾島 耕

日本原子力研究所
Japan Atomic Energy Research Institute

原子炉構造物の振動 II - 1 2

INTERLUDE-1. モード展開法による多質点系の
地震応答解析コード

日本原子力研究所 動力炉開発管理室

幾 島 裕

(1973 年 2 月 10 日受理)

原子炉構造物の地震応答解析のための計算コード INTERLUDE-1 を開発した。この計算コードでは、構造物を多質点系として取扱っている。この計算コードの特徴はつぎのとおりである。

- (1) 振動形式としてはせん断形、曲げ形およびそれらの合成のうち任意のものを取扱うことができる。
- (2) 地震波については任意のものを取扱うことができる。
- (3) 数値解法はモード展開法によった。
- (4) 計算、プロットおよび結果の出力については時間間隔を任意に変更することができる。それ故、計算精度を確保しながら計算時間を節約できる。
- (5) 計算結果のプロットのためのサブ・ルーチンがこの計算コードに付け加えられているので、結果をプロッタによって表示することができる。

この計算コードは FORTRAN IV によって書かれており計算機 FACOM 230-60 が対象機種とされている。応答計算時間は 5 質点でステップ数 1500 の場合、1 ステップ当たり約 1.0 ~ 2.0 秒である。

Vibration of Reactor Structure, Part II-12

INTERLUDE-1 : Seismic Response Analysis Code

Takeshi IKUSHIMA

Office of Power Reactor Projects, Tokai, JAERI

(Received February 10, 1973)

The code INTERLUDE-1 has been prepared for analysis of the seismic response of a reactor structure. It is treated as the multi-mass-points system. Features of the code are following:

- (1) Treatment of the shear vibration, bending vibration and their composition is possible.
- (2) Any seismic wave may be the input.
- (3) Numerical analysis is by the so-called "modal analysis".
- (4) The time intervals for calculation, graphic representation of the results, and their printout can be chosen freely, with the result in a saving of the computer time with sufficient accuracy.
- (5) A subroutine for the graphic representation is provided with the code, so that the results can be given with a CALCOMP plotting machine.

The code written in FORTRAN IV is for FACOM 230-50. The computation time of seismic response is about 1.0~2.0 sec per step, for the 1500 step, in the case of a five mass-points system.

目 次

1 緒 言	1
2 理 論	1
2.1 基礎式および解法	1
2.2 固有値問題	3
2.3 地震波の取扱い	3
2.4 計算式	4
3 計算コード	6
3.1 計算コードの構成	6
3.2 入力および出力形式	7
3.3 計算例	7
3.4 計算時間	
4 謝 辞	10
5 参考文献	10

1. 緒 言

原子炉構造物の耐震設計を行うためには地震応答解析を行わねばならない。このため、すでに計算コードVIBSES-6を作成した。VIBSES-6は振動方程式を線形加速法によつて逐次積分して値を求めるように作つたものである。線形加速法によつて数値解を求める場合には計算時間の節約が計られるが、しかし求める計算値が比較的発散しやすいという欠点がある。また数値解を求める場合、常に計算値の妥当性を検討しておかねばならない。数値解の計算値の妥当性を判断するためには他の数値解法によつて求めた値とそれを比較する必要がある。振動方程式の数値解法には、すでに述べた線形加速法の他に、モード展開法、ルンゲ・クッタ・ジル法およびハミング・予測子・修正子法があるが、どの方法が最良であるかはまだ十分に検討されていない。したがつて計算誤差、計算時間、計算機容量などの観点から各方法の妥当性を今後十分に追求しておく必要がある。

上に述べた理由によつて振動方程式の数値解をモード展開法によつて求める計算コードINTERLUDE-1の作成を行つた。本報告は当計算コードの概要と計算例について述べたものである。

2. 理 論

2.1 基礎式および解法

1入力多質点系の移動方程式は、

$$\mathbf{M} \ddot{\mathbf{Y}} + \mathbf{C} \dot{\mathbf{Y}} + \mathbf{K} \mathbf{Y} = \mathbf{F}(t) \quad (2.1)$$

である。ここで

\mathbf{M} : 質量

\mathbf{K} : 剛性

\mathbf{C} : 減衰項

$\ddot{\mathbf{Y}}$: 加速度

$\dot{\mathbf{Y}}$: 速度

\mathbf{Y} : 位変

\mathbf{F} : 外力

(2.1)式を解く方法はモード展開法(modal analysis)と逐次積分法(step-by-step method)の2つに分類される。逐次積分法にはルンゲ・クッタ・ジル(Runge-Kutta-Gill's)および線形加速法(linear acceleration method, or Newmark- β method)がある。ここではモード展開法によることにした。

モード展開法では、

$$\mathbf{Y} \equiv \mathbf{U} \phi \quad (2.2)$$

とおき、それを(2.1)式へ代入して、両辺に \mathbf{U}^T を掛けば、

$$\mathbf{U}^T \mathbf{M} \mathbf{U} \ddot{\phi} + \mathbf{U}^T \mathbf{C} \mathbf{U} \dot{\phi} + \mathbf{U}^T \mathbf{K} \mathbf{U} \phi = \mathbf{U}^T \mathbf{F}(t) \quad (2.3)$$

1. 緒 言

原子炉構造物の耐震設計を行うためには地震応答解析を行わねばならない。このため、すでに計算コードVIBSES-6を作成した。VIBSES-6は振動方程式を線形加速法によつて逐次積分して値を求めるように作つたものである。線形加速法によつて数値解を求める場合には計算時間の節約が計られるが、しかし求める計算値が比較的発散しやすいという欠点がある。また数値解を求める場合、常に計算値の妥当性を検討しておかねばならない。数値解の計算値の妥当性を判断するためには他の数値解法によつて求めた値とそれを比較する必要がある。振動方程式の数値解法には、すでに述べた線形加速法の他に、モード展開法、ルンゲ・クッタ・ジル法およびハミング・予測子・修正子法があるが、どの方法が最良であるかはまだ十分に検討されていない。したがつて計算誤差、計算時間、計算機容量などの観点から各方法の妥当性を今後十分に追求しておく必要がある。

上に述べた理由によつて振動方程式の数値解をモード展開法によつて求める計算コードINTERLUDE-1の作成を行つた。本報告は当計算コードの概要と計算例について述べたものである。

2. 理 論

2.1 基礎式および解法

1入力多質点系の移動方程式は、

$$\mathbf{M} \ddot{\mathbf{Y}} + \mathbf{C} \dot{\mathbf{Y}} + \mathbf{K} \mathbf{Y} = \mathbf{F}(t) \quad (2.1)$$

である。ここで

\mathbf{M} : 質量

\mathbf{K} : 剛性

\mathbf{C} : 減衰項

$\ddot{\mathbf{Y}}$: 加速度

$\dot{\mathbf{Y}}$: 速度

\mathbf{Y} : 変位

\mathbf{F} : 外力

(2.1)式を解く方法はモード展開法(modal analysis)と逐次積分法(step-by-step method)の2つに分類される。逐次積分法にはルンゲ・クッタ・ジル(Runge-Kutta-Gill's)および線形加速法(linear acceleration method, or Newmark- β method)がある。ここではモード展開法によることにした。

モード展開法では、

$$\mathbf{Y} \equiv \mathbf{U} \phi \quad (2.2)$$

とおき、それを(2.1)式へ代入して、両辺に \mathbf{U}^T を掛けば、

$$\mathbf{U}^T \mathbf{M} \mathbf{U} \ddot{\phi} + \mathbf{U}^T \mathbf{C} \mathbf{U} \dot{\phi} + \mathbf{U}^T \mathbf{K} \mathbf{U} \phi = \mathbf{U}^T \mathbf{F}(t) \quad (2.3)$$

を得る。正規化関数の直交性から、つぎの式が得られる。

$$\left. \begin{array}{l} C_r^2 U_r^T M U_s = 0 \\ C_r^2 U_r^T C U_s = 0 \\ C_r^2 U_r^T K U_s = 0 \end{array} \right\} \quad (r = s) \quad \left. \begin{array}{l} \\ \\ \end{array} \right\} \quad (2.4)$$

$$\left. \begin{array}{l} C_r^2 U_r^T M U_s = M_r^* \\ C_r^2 U_r^T C U_s = C_r^* \\ C_r^2 U_r^T K U_s = K_r^* \end{array} \right\} \quad (r = s) \quad \left. \begin{array}{l} \\ \\ \end{array} \right\}$$

C_r^2 : 定数 ($r = 1, 2, \dots, n$)

C_r^2 の値は M_r^* が 1 になるように決めればよい。これをモードの正規化という。 r 番目の方程式は

$$M_r^* \ddot{\phi}_r + C_r^* \dot{\phi}_r + K_r^* \phi_r = C_r^2 U_r^T F(t) \quad (2.5)$$

ここで、つぎのようにおけば (2.5) 式は (2.7) 式のようになる。

$$\frac{C_r^*}{M_r^*} \equiv 2 h_r \omega_r \quad (2.6)$$

$$\frac{K_r^*}{M_r^*} \equiv \omega_r^2$$

$$U_r^T F(t) \equiv P_r(t)$$

$$\ddot{\phi}_r + 2 h_r \omega_r \dot{\phi}_r + \omega_r^2 \phi_r = -\frac{1}{M_r^*} P_r(t) \quad (2.7)$$

ここで $\omega_r^1 = \omega_r \sqrt{1 - h_r^2}$ とおけば

$$\phi_r = \frac{1}{M_r^* \omega_r^1} \int_0^t P_r(\tau) e^{-h_r \omega_r(t-\tau)} \sin \omega_r^1(t-\tau) d\tau \quad (2.8)$$

となり ϕ が求まるので、(2.2) 式によつて Y を決めることができる。(2.2) 式の U は固有ベクトルであり、モード展開法によつて解くためには、固有ベクトルおよび固有値の計算が 1 つの重要な項目となる。固有値および固有ベクトルを求める方法としては、べき乗法 (power method), ヤコビのしきい値法 (Jacobi threshold method), ダニレフスキイ法 (Danilevskii method), ハウスホルダ法 (House holder method), QR 法 (QR method) などがある。

べき乗法は重根が存在する場合には解くことができないので、ここではヤコビのしきい値法によることにした。

2.2 固有値問題

固有値は(2.1)式から、減衰のない場合の式を解くことによつて求められる。(2.1)式から、

$$\ddot{\mathbf{M}}\dot{\mathbf{Y}} + \mathbf{K}\mathbf{Y} = 0$$

$$\mathbf{M}^{-1}\mathbf{K}\mathbf{Y} = \lambda \mathbf{Y}$$

ここで、 $\lambda \equiv \omega^2$ である。上式を解く場合、根に重根が存在すると、べき乗法では解くことができないのでヤコビのしきい値法によることにする。ヤコビのしきい値法による場合、 $\mathbf{M}^{-1}\mathbf{K}$ は一般に対称ではないので、直接的にヤコビの方法によつて解くことができない。そこでつきのような変換を行つて対称行列とする。

$$\mathbf{M} \equiv \mathbf{X}\mathbf{L} \cdot \mathbf{X}\mathbf{L}^T \quad (2.9)$$

ここで $\mathbf{X}\mathbf{L}$ は \mathbf{M} の左下半分の行列を表す。それを(2.8)式へ代入すれば、

$$\mathbf{K}\mathbf{Y} = \lambda \cdot \mathbf{X}\mathbf{L} \cdot \mathbf{X}\mathbf{L}^T \mathbf{Y} \quad (2.10)$$

ここで $\mathbf{X}\mathbf{L}^T \mathbf{Y} = \mathbf{U}'$ とおけば

$$\mathbf{Y} = (\mathbf{X}\mathbf{L}^T)^{-1} \mathbf{U}' = (\mathbf{X}\mathbf{L}^{-1})^T \mathbf{U}'$$

$$\mathbf{K}(\mathbf{X}\mathbf{L}^{-1})^T \mathbf{U}' = \lambda \mathbf{X}\mathbf{L} \mathbf{X}\mathbf{L}^T (\mathbf{X}\mathbf{L}^T)^{-1} \mathbf{U}'$$

両辺に $\mathbf{X}\mathbf{L}^{-1}$ を掛けて

$$\mathbf{X}\mathbf{L}^{-1}\mathbf{K}(\mathbf{X}\mathbf{L}^{-1})^T \mathbf{U}' = \lambda \mathbf{X}\mathbf{L}^{-1} \mathbf{X}\mathbf{L}^T (\mathbf{X}\mathbf{L}^T)^{-1} \mathbf{U}'$$

$$\mathbf{X}\mathbf{L}^{-1} \mathbf{K}(\mathbf{X}\mathbf{L}^{-1})^T \mathbf{U}' = \lambda \mathbf{U}' \quad (2.11)$$

ここに、 $\mathbf{X}\mathbf{L}^{-1}\mathbf{K}(\mathbf{X}\mathbf{L}^{-1})^T$ は対称マトリックスであるので(2.11)式の \mathbf{U}' に関する固有値および固有ベクトルはヤコビの方法によつて、さらにそれから \mathbf{Y} に関するそれぞれの値を求めることができる。

2.3 地震波の取扱い

地震波データから計算のために必要な入力地震波を作成する必要がある。地震波データは、大きな時間間隔でしか与えられていない。構造物の応答計算を行うためには、計算精度の点から 10^{-2} 秒おき程度の地震波の値が必要になる。これらの値を求めるために、もとのデータに対して補間が必要となる。補間の方法として、直線によるもの、または正弦波によるものが考えられる。正弦波による補間の方が直線によるものより大きな応答値を示すので前者を採用することにした。

2.4 計算式

このコードは種々の計算体系に対して計算が可能をよりに作成されているので、体系に応じた加速度、変位などの計算値を利用しなければならない。計算の意味はそれぞれ以下に示すものである。

(1) 加速度 (Acceleration)

$$\ddot{Y}_i \text{ (gal)}$$

(2) 絶対加速度 (Absolute acceleration)

$$ABSACC = \ddot{Y}_i + H_i \ddot{Y}_1 \times \mu + \ddot{y}_o \text{ (gal)}$$

(3) 相対加速度 (Relative acceleration)

$$RELACC = \ddot{Y}_i + H_i \ddot{Y}_1 \times \mu \text{ (gal)}$$

(4) 速度 (Velocity)

$$\dot{Y}_i \text{ (cm/sec)}$$

(5) 変位 (Displacement)

$$Y_i \text{ (cm)}$$

(6) 相対変位 (Relative Displacement)

$$RELDIS = Y_i + H_i Y_1 \times \mu \text{ (cm)}$$

(7) 層間変位 (Deflection)

$$DEFL = (Y_i - Y_{i-1}) + (H_i - H_{i-1}) Y_1 \times \mu \text{ (cm)}$$

(8) せん断力 (Shear force)

$$SHEAR = K_i,_{i-1} (Y_i - Y_{i-1}) \text{ (kg)}$$

ここで、 H_i : 層間高さ (cm)

μ : 計算体系による係数

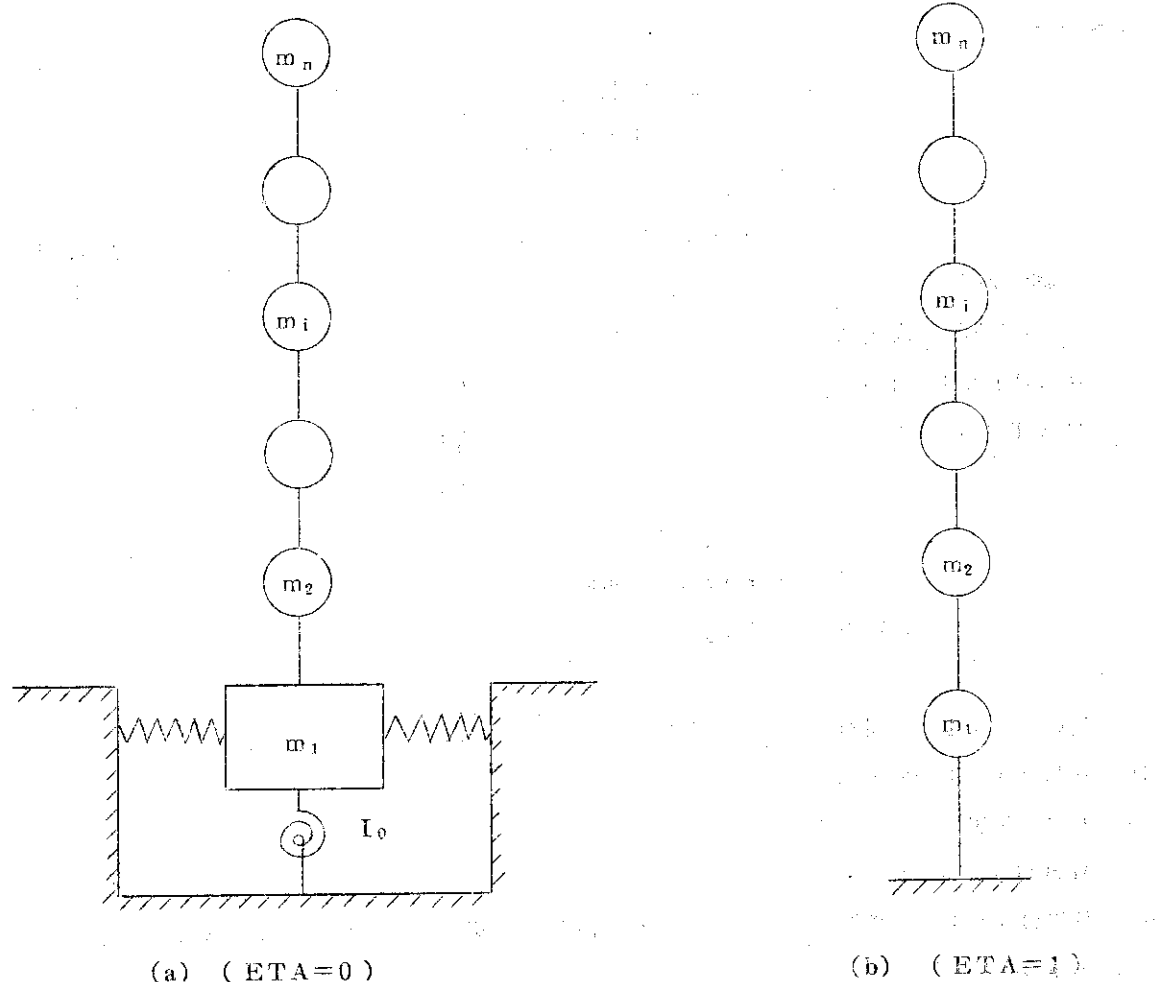


Fig. 2.1 Model of calculation

3. 計算コード

3.1 計算コードの構成

この計算コードはメインプログラムと25個のサブ・プログラムから構成されている。計算コードのプロック・ダイアグラムをFig. 3.1に示す。それぞれのプログラムの機能はつきのようになつている。

- (1) MAIN： デイメンジョンの決定をして、計算開始の準備をする。
- (2) MAINX： それぞれのサブルーチンを制御し計算を続行させる。
- (3) INPUT1： 問題のタイトルおよび問題の大きさを読み込む。
- (4) INPUT2： 入力形式を読みこみ、サブ・プログラム READW, REPIN, DATA を制御する。
- (5) READW： 入力地震波を読みこみ、データをストアする。
- (6) REPIN： 質点の初期位置および高さを読み込む。
- (7) DATA： 質量、剛性係数、減衰係数を読み込む。
- (8) DTRITE： DATA で読み込んだデータのプリント。
- (9) HEADD1： 計算コード名をプリントする。
- (10) READY： 応答計算を行うための準備をする。
- (11) VIBRA： 応答計算を行う。
- (12) INTERP： 地震波の処理をする。
- (13) KOYUTI： 固有値および固有ベクトルを計算する。
- (14) BEPAT： 刺激関数の計算を行う。
- (15) PRINT： チェック・プリントを行う。
- (16) MSG： エラー・メッセージを出す。
- (17) STORE： 応答計算結果のプリントおよび結果をプロッター出力させるためのデータのストアをする。
- (18) GVLSEA： 応答計算結果の最大値が発生する時間を調べ、プリントする。
- (19) VIEW： プロッタ出力の制御を行う。
- (20) TITLE： 問題のタイトルおよび計算コードのタイトルをプロットする。
- (21) VIEWX： 応答計算値をプロットする。
- (22) TYPE1： 入力地震波をプロットする。
- (23) TYPE2： 入力地震波をプロットする。
- (24) PASS： プロッタ出力の必要なデータを制御する。
- (25) ACCESS： データの再整理を行う。
- (26) SCALEX： データのスケーリングをする。

計算コードの流れ図は、Fig. 3.2に示されている。

3.2 入力および出力形式

3.2.1 入力形式

入力形式は Table 3.1 に一覧表にして示してあるようだ。

- (1) 体系の大きさ
- (2) 計算条件
- (3) 入力波
- (4) 質量、剛性係数、減衰係数、などの値
- (5) 結果の出力制御

から成つてゐる。前記の(4)項の値は磁気テープおよびディスクからも入力できるようになつており、この場合、「データ一ヶづぎのよう」な形式で記入されなければならない。

```
DO 1 I=1, N
    WRITE(10) DATA(I, J), J=1, N
```

入力データの一例は Table 3.2 に示されている。

3.2.2 出力形式

出力形式は 1 例として Table 3.2 に示されているようだ。

- (1) 入力データ
- (2) 入力波の基準化
- (3) 質量、剛性係数、減衰係数、などの値
- (4) 応答計算結果
 - (a) 加速度
 - (b) 速度
 - (c) 变位
 - (d) せん断力、圧縮力
- (5) 計算結果のプロット

などから成つてゐる。

3.3 計算例

Fig. 3.3 に図示された原子炉格納容器の場合を例にとって計算した結果を、入力データについては Table 3.2 に、結果については Table 3.3 および Fig. 3.4 にそれぞれ示す。計算コードは一般化されており Fig. 2.1 に示す体系の地震応答解析を行うことができる。

計算例

入力波 最大加速度 18.0 gal

EL CENTRO 40 NS

質点数 5

応答計算時間 15.0 sec

Table 3.1 Input list of code TOROTO-1

Card No.	FORMAT	VariabIes	Descriptions
1 1	I 1	TITLE0	= 0 : Calculation continue = 1 : Calculation stop
	9 A 8	TITLE1(I)	Problem identification
2	5 F 1 0.0	GALMAX	Maximum acceleration (gal)
	1 0 X	TFIN	Final time of response calculation(sec)
		DT	Time interval for calculation(sec), if this column is blank, DT = 0.01
		AMYU	Time interval for plot (sec), if this column is blank, AMYU = 0.01, AMYU \geq DT
		TPRINT	Print out interval(sec), if this column is blank, TPRINT = 0.1
	F 1 0.0	ETA	Calculation model factor, if this column is blank, ETA = 1.0
	I 1 0	TABEND	Cut-off time due to computer central processing time(sec), if this column is blank, TABEND = 3600
3	3 I 3	NPOINT	Number of mass
		NFIRST	(Number of first fuel point)
		NEND	(Number of last fuel point)
4	3 I 3,	IDMP	= 1 : Damping matrix input
	3 X		= 2 : Mode independent damping factor input
		MATR	= 4 : Mode dependent damping factor input
			= 0 : Stiffness matrix input
			= 1 : Flexibility matrix input
		NEW	= 0 : Seismic wave is used wave of former problem
			= 1 : Seismic wave input
	I 3 (6 X)	KAI(1)	Calculation model factor
	I 3, 3 X	KAI(4)	= 0 : Mass, stiffness and damping matrix data are read from input card
			= 1 : Matrix data are read from disk or tape No. 10
	4 I 3	IWIN	Seismic wave data from disk or tape

JAERI-M 5166

Card No	FORMAT	VariabIes	Descriptions
		NSES	No. IWIN (IWIN = 2, 3, 4, 8) standard seismic wave data are disk No. 8
		IWOU	Only usable if seismic wave data from disk or tape No. IWIN, = 0 : seismic wave data from input card = 1 : seismic wave data from disk or tape
		IWNP	Response acceleration is stored in disk or tape No. IWOU (IWOU = 2, 3, 4)
			Only usable if response acceleration is stored in disk or tape No. IWOU. = 0 : don't store ≥ 1 : response acceleration is stored, IWNP is mass point number
5	11	IPLT1	= 0 : Dont plotted = 1 : Calculation results are plotted
	15	IPLT2	Length of time axis, IPLT2 (mm/sec)
913		IPLT6	Total mass number to be plotted
		IPLT3(I)	= 0 : Don't plotted = 1 : Calculation results are plotted I = 1 : Absolute acceleration I = 2 : Relative displacement I = 3 : Shear force I = 4 : Acceleration I = 5 : Relative acceleration I = 6 : Displacement I = 7 : Deflection I = 8 : - I = 9 : Velocity
6	2413	IPLT7(I)	Mass point number to be plotted
7	18A4	NAME	Seismic wave name
8	14, 6X	NREC	Recorded number of seismic wave data
	11, 9X	IWAVE	= 1 : Input data are card No. 9A = 2 : Input data are card No. 9B

Card No.	FORMAT	Variables	Descriptions
	F10.0	DTW	Time interval of seismic wave data (only use if IWAVE=1) (sec)
9 A	10X, 5F10.3	WAVEIN(I)	Acceleration (gal)
9 B	3X, 4(F7.4,F9.6)	TWAVE(I) WAVEIN(I)	Time (sec) Acceleration (g)
			If standard seismic wave data are used, card No. 9 and 10 are omitted
10	6(I3, F9.0)	NN	Repeated number
		Y(I)	Initial position of mass point (cm)
11	6(I3, F9.0)	NN	Repeated number
		H1(I)	Height of mass point (cm)
1.2			Mass matrix, stiffness (flexibility) matrix and damping coefficient (damping matrix)
I 1	FLAG		= 1 : Only use last card
3 I 3	IROW		Number of data row
	ICOL		Number of data column
	IDATA		Number of data
7F10.0	DATA		DATA(IROW, ICOL)~DATA(IROW, ICOL + IDATA)
			If KAI(4) = 1, card No. 12 are Omitted
			If IDMP = 2 and 4, damping factor data are read according to the following format
12 C	6F12.0	H(I)	Damping factor (-)

4. 謝 辞

この計算コードの作成に際して、ご教授をいただいた原研動力炉試験炉部の江連秀夫氏、本報告をまとめるに際して助言をいただいた原研動力炉開発管理室熱中性子炉設計班下川純一班長に深く感謝します。

5. 参考文献

- (1) 幾島毅, VIBSES-6: 多質点系の地震応答解析コード, JAERI-M 4806, 1972年5月
- (2) 幾島毅; PRELUDE-1: ブロック状炉心の地震応答解析コード, JAERI-M 4905, 1972年7月

Card No.	Format	Variables	Descriptions
	F10.0	DTW	Time interval of seismic wave data (only use if IWAVE=1) (sec)
9 A	10X, 5F10.3	WAVEIN(I)	Acceleration (gal)
9 B	3X, 4(F7.4,F9.6)	TWAVE(I) WAVEIN(I)	Time (sec) Acceleration (g)
			If standard seismic wave data are used, card No. 9 and 10 are omitted
10	6(I3, F9.0)	NN	Repeated number
		Y(I)	Initial position of mass point (cm)
11	6(I3, F9.0)	NN	Repeated number
		H(I)	Height of mass point (cm)
1.2			Mass matrix, stiffness (flexibility) matrix and damping coefficient (damping matrix)
I 1	FLAG	= 1 : Only use last card	
3 I 3	IROW	Number of data row	
	ICOL	Number of data column	
	IDATA	Number of data	
7F10.0	DATA	DATA(IROW, ICOL)~DATA(IROW, ICOL + IDATA)	
			If KAI(4)=1, card No. 12 are Omitted
			If IDMP = 2 and 4, damping factor data are read according to the following format
12 C	6F12.0	H(I)	Damping factor (-)

4. 謝 辞

この計算コードの作成に際して、ご教授をいただいた原研動力炉試験炉部の江連秀夫氏、本報告をまとめるに際して助言をいただいた原研動力炉開発管理室熱中性子炉設計班下川純一班長に深く感謝します。

5. 参考文献

- (1) 幾島毅, VIBSES-6: 多質点系の地震応答解析コード, JAERI-M 4806, 1972年5月
- (2) 幾島毅; PRELUDE-1: ブロック状炉心の地震応答解析コード, JAERI-M 4905, 1972年7月

Card No.	FORMAT	Variables	Descriptions
	F10.0	DTW	Time interval of seismic wave data (only use if IWAVE=1) (sec)
9 A	10X, 5F10.3	WAVEIN(I)	Acceleration (gal)
9 B	3X, 4(F7.4,F9.6)	TWAVE(I) WAVEIN(I)	Time (sec) Acceleration (g)
			If standard seismic wave data are used, card No. 9 and 10 are omitted
10	6(I3, F9.0)	NN	Repeated number
		Y(I)	Initial position of mass point (cm)
11	6(I3, F9.0)	NN	Repeated number
		HI(I)	Height of mass point (cm)
12			Mass matrix, stiffness (flexibility) matrix and damping coefficient (damping matrix)
I1	FLAG		= 1 : Only use last card
3 I3	IROW		Number of data row
	ICOL		Number of data column
	IDATA		Number of data
7F10.0	DATA		DATA(IROW, ICOL)~DATA(IROW, ICOL+IDATA)
			If KAI(4)=1, card No. 12 are Omitted
			If IDMP = 2 and 4, damping factor data are read according to the following format
12 C	6F12.0	H(I)	Damping factor (-)

4. 謝 辞

この計算コードの作成に際して、ご教授をいただいた原研動力炉試験炉部の江連秀夫氏、本報告をまとめるに際して助言をいただいた原研動力炉開発管理室熱中性子炉設計班下川純一班長に深く感謝します。

5. 参考文献

- (1) 幾島毅, VIBSES-6: 多質点系の地震応答解析コード, JAERI-M 4806, 1972年5月
- (2) 幾島毅; PRELUDE-1: ブロック状炉心の地震応答解析コード, JAERI-M 4905, 1972年7月

Table 3.2 Input data of sample problem

.....1.....2.....3.....4.....5.....6.....7.....8							
J	H T G R	S E I S M I C	R E S P O N C E	INTERLUDE=1	1.0	3600	
1	180.0	15.0	0.01	0.02	1.0		
2	1.5	5					P=2.5 -3
3	2.0	1.0	0 1 0 0 1 0				
4	1.29	5.0	0 1 1 0 1 1 0				
5	1.1	2.3	5				
6L	CENTRO	40NS					
7	0.0	0.0	0.0	0.0	0.0	0.0	
8	1100.0	2100.0	2800.0	4300.0	5200.0	2280.0	Y0
9	1.1	1.61	2.245				1
10	2.2	1.61	2.245				
11	3.3	1.61	2.245				
12	4.4	1.10	2.041				
13	4.5	1.61	2.245				
14	5.5	1.10	2.041				
15	1.1	1.10	1.05	*6 -4 *3	*5 -6 *2	*5	
16	2.1	2.4	5	*5 1.1	*5 1.0		
17	3.2	2.6	5	*5 7.5	*5 1.0		
18	4.3	2.1	0	*5 1.16	*5 1.0		
19	5.4	2.1	0	*4 1.0	*4 1.0		
20	0.05	0.05	0.05	0.05	0.05	0.05	INTR
21	LAST CARD						

Table 3.3 Output list of sample problem

1 PAGE/1 CASE

INTGUE SPATIALIC RESPONSE INTERLUDI

* * INPUT DATA *

1. EARTHQUAKE WAVE

EARTHQUAKE WAVE NAME
EL CENTRO 40%
ELMAX (gal) 100.0

2. SIZE

MASS POINT NO. 5
FIRST FUEL POINT NO. 1
LAST FUEL POINT NO. 5
SELECTED MATRIX TYPE
STIFFNESS (C)
MODE INDEF H-FAC
ACCELERATION FACTOR
CALC. MODELL FACTOR 0.16667 1.0

3. OPTION

EFFECT OF ROTATION
EIGENVALUE CALCULATION
OVER TURN MOMENT CALCULATION
DEVICE FOR MATRIX DATA
EARTHQUAKE WAVE DATA
FOR CALCULATION
NOT INCLUDE EXECUTE
NOT EXECUTE NOT EXECUTE
NOT TAPED
CHARGE
FOR PLOTTING
PLOTTING LENGTH (MM/SEC)
ABSOLUTE ACCEL. 0
RELATIVE DISPL. 0
SHEAR FORCE 1
ACCELERATION 1
RELATIVE ACCEL. 0
DISPLACEMENT 1
DEFLECTION 1
OVER TURN MOMENT 0
VELOCITY 0
MASS POINT NUMBER TO BE PLOTTED
1 2 3 4 5

4. TIME

FINISH TIME 15.0000 (SEC)
PRINT INTERVAL TIME 1.0000 (SEC)
CPU-LIMIT TIME 3.000 (SEC)
COMPUTE INTERVAL TIME 0.0200 (SEC)
PLOT INTERVAL TIME 0.0200 (SEC)

*** EARTHQUAKE WAVE ***
 EL CENTRO 40NS
 UPPER LIMIT OF AMPLITUDE (GAL) 180.000
 MAXIMUM AMPLITUDE OF DATA(GAL) 319.446
 MAGNIFICATION 0.563

2 PAGE/ 1 CASE

1..... 2..... 3..... * Y(TW) * *
 1 0.0 0.0 0.0 0.0

3 PAGE/ 1 CASE

1..... 2..... 3..... * H (CM) * *
 1 1.1E0E 03 2.1E0E 03 2.6E0E 03 4.2E0E 03 -5.2E0E 03

4 PAGE/ 1 CASE

INPUT MATRIX * * MASS MATRIX (TON*SEC**2/CM)
 MATRIX OUT DATA(I,J)

5 PAGE/ 1 CASE

SECTION = 1	J= 1	J= 2	J= 3	J= 4	J= 5
1 1 6.1224E 01 0.0 0.0 0.0 0.0	2 0.0 6.1224E 01 0.0 0.0 0.0 0.0	3 0.0 0.0 6.1224E 01 0.0 0.0 0.0	4 0.0 0.0 0.0 1.0204E 01 0.0 0.0	5 0.0 0.0 0.0 0.0 6.1224E 00 END.	

6 PAGE / 1 CASE

STIFFNESS MATRIX (TON/CM) * *

INPUT DATA

DATA(I,J)

SECTION = 1

	J=1	J=2	J=3	J=4	J=5	J=6
1	1.800E-02	-4.800E-05	0.0	0.0	0.0	0.0
2	-4.800E-05	1.100E-05	-6.200E-05	0.0	0.0	0.0
3	0.0	-6.200E-05	1.100E-05	-4.000E-05	0.0	0.0
4	0.0	0.0	-1.000E-05	1.100E-05	-4.000E-05	0.0
5	0.0	0.0	1.000E-05	-1.000E-05	1.100E-05	-4.000E-05

STRUCTURE STIFFNESS (1.0E+03)

E=0.

TIME, FREQUENCY = 0.0000000000000000

NATURAL FREQUENCIES = 0.0000000000000000

NATURAL PERIODS (SEC) = 3.2375E-01

TIME = 0.0 (SEC)

SECTION = 2 SECTION = 3 SECTION = 4 SECTION = 5 SECTION = 6

PAGE / 1 CASE

SECTION = 7 SECTION = 8 SECTION = 9 SECTION = 10 SECTION = 11

INTENSLD=1

* * NATURAL VIBRATION IS *

Y(1)

1	2	3	4	5	6
1	4.2768E-02	9.6120E-02	2.078E-02	4.769E-01	8.1560E-01
2	1.2015E-01	1.1534E-01	1.2406E-01	4.759E-01	5.1360E-01
3	3.2549E-01	2.1144E-01	3.3552E-01	2.5030E-01	2.6122E-01
4	3.2549E-01	5.2383E-01	6.3314E-01	4.8606E-01	4.0732E-01
5	8.1560E-01	-9.5724E-01	2.2191E-01	-1.2193E-02	9.7098E-03

INTENSLD=2

* * RESPONSE *

Y(1)

1	2	3	4	5	6
1	5.3056E-01	1.1161E-02	1.5124E-02	1.8665E-02	1.8665E-02
2	8.8824E-01	1.7760E-01	2.4014E-01	2.4702E-01	2.4702E-01
3	1.1283E-01	5.4234E-02	4.1539E-02	3.3687E-02	3.3687E-02

SECTION = 7 SECTION = 8 SECTION = 9 SECTION = 10 SECTION = 11

PAGE / 1 CASE

Y(1)

1	2	3	4	5	6
1	9.2142E-01	0.0	0.0	0.0	0.0
2	9.5142E-01	0.0	0.0	0.0	0.0
3	9.2142E-01	0.0	0.0	0.0	0.0
4	9.5142E-01	0.0	0.0	0.0	0.0
5	9.2142E-01	0.0	0.0	0.0	0.0

Y(1)

4

JAERI-M 5166

9 PAGE/ 1 CASE

INTERLUDE-1 JHTGR SEISMIC RESPONSE

** RESPONSE **

* TIME = 1.0000 (SEC) EARTHQUAKE = -47.835 (GAL) *

POINT NO	ACCELERATION ON (GAL)	RELATIVE ACC. (GAL)	VELOCITY (CM/SEC)	DISPLACEMENT		DEFLECTION (CM)	SHEAR FORCE (TON)	TENTO HOME NT
				INT (CM)	DISP. (CM)			
1	-2.3442E-011	-1.0128E-021	-5.3442E-011	-7.7894E-001	8.4902E-031	8.4500E-031	8.2613E-031	0.0
2	-5.5419E-011	-1.0495E-021	-5.6819E-011	2.7439E-021	2.7438E-021	1.8998E-021	0.5444E-031	0.0
3	-6.2427E-011	-1.1628E-021	-6.2427E-011	-7.9341E-001	3.2249E-021	3.3298E-021	7.8104E-031	5.0768E-031
4	-7.1490E-011	-1.1932E-021	-7.1490E-011	-8.1366E-001	4.7129E-021	4.7123E-021	1.1874E-031	0.0
5	-6.7632E-011	-1.1594E-021	-6.7632E-011	-8.7830E-001	7.1727E-021	7.1727E-021	4.4288E-031	0.0

10 PAGE/ 1 CASE

INTERLUDE-1 JHTGR SEISMIC RESPONSE

** RESPONSE **

* TIME = 2.6000 (SEC) EARTHQUAKE = -179.406 (GAL) *

POINT NO	ACCELERATION ON (GAL)	RELATIVE ACC. (GAL)	VELOCITY (CM/SEC)	DISPLACEMENT		DEFLECTION (CM)	SHEAR FORCE (TON)	TENTO HOME NT
				INT (CM)	DISP. (CM)			
1	-1.1716E-011	-9.3109E-021	-1.7166E-011	-2.2132E-011	2.5581E-021	2.5594E-021	4.7325E-031	0.0
2	-1.3249E-011	-9.2123E-021	-1.3249E-011	-2.3184E-011	3.1295E-021	3.1295E-021	8.5014E-031	0.0
3	-1.3010E-011	-9.2123E-021	-1.3010E-011	-2.3184E-011	6.1292E-021	6.1292E-021	2.3206E-031	0.0
4	-1.2946E-011	-9.2123E-021	-1.2946E-011	-2.3184E-011	1.0746E-021	1.0746E-021	1.5514E-031	0.0
5	-1.2812E-011	-9.1951E-021	-1.2812E-011	-2.1527E-011	1.6339E-021	1.6339E-021	5.7892E-031	0.0
6	-1.2610E-011	-9.1759E-021	-1.2610E-011	-2.0320E-011	3.5309E-021	3.5309E-021	1.8939E-031	0.0

11 PAGE/ 1 CASE

INTERLUDE-1 JHTGR SEISMIC RESPONSE

** RESPONSE **

* TIME = 3.0000 (SEC) EARTHQUAKE = -35.765 (GAL) *

POINT NO	ACCELERATION ON (GAL)	RELATIVE ACC. (GAL)	VELOCITY (CM/SEC)	DISPLACEMENT		DEFLECTION (CM)	SHEAR FORCE (TON)	TENTO HOME NT
				INT (CM)	DISP. (CM)			
1	-7.4162E-011	-1.0949E-021	-7.4162E-011	9.4826E-011	2.4733E-021	2.4733E-021	4.5756E-031	0.0
2	-8.6778E-011	-2.1653E-021	-8.6778E-011	1.4019E-001	9.1623E-021	9.1623E-021	6.6890E-031	0.0
3	-2.2337E-011	-2.9312E-021	-2.2337E-011	1.6346E-001	1.2113E-021	1.2113E-021	2.9503E-031	0.0
4	-2.3059E-011	-2.2633E-021	-2.3059E-011	2.2448E-001	1.7587E-021	1.7587E-021	5.4759E-031	0.0
5	-2.3462E-011	-2.0303E-021	-2.3462E-011	4.0597E-001	3.1900E-021	3.1900E-021	2.5764E-031	0.0

12 PAGE / 1 CASE

INTERLUDE-1 JHTGR SEISMIC RESPONSE

* * RESPONSE *

* TIME = 4.0000 (SEC) EARTHQUAKE = 5.446 (GAL) *

POINT NO	ACCELERATION ON (GAL)	ABSOLUTE ACC. (GAL)		RELATIVE ACC. (GAL)	VELOCITY (CM/SEC)	DISPLACEMENT NT (CM)	RELATIVE DISP. (CM)	DEFLECTION (CM)	SHEAR FORCE (TON)	TENTO HOME NT
		NO	NAME							
1	1	5	G177E	0.11	5.5293E-011	-1.4399E-011	-2.5377E-021	-2.3577E-021	-4.3617E-021	0.0
2	1	7	I196	0.21	1.8246E-021	-9.1722E-021	-9.0681E-021	-6.7104E-021	-3.0197E-021	0.0
3	1	3296	O12	1.4246E-021	1.2194E-021	-1.8117E-021	-1.2190E-021	-3.1221E-021	-2.0293E-021	0.0
4	1	3297	O12	2.5579E-021	2.5579E-021	-1.8117E-021	-1.9346E-021	-7.1559E-021	-7.1559E-021	0.0
5	1	6106	O21	3.6719E-021	2.1889E-021	-7.1559E-021	-1.9346E-021	-4.0631E-021	-2.1291E-021	0.0
7	1	1735	O21	7.1173E-021	-5.3597E-021	-5.3597E-021	-4.0631E-021	-2.1291E-021	-2.1291E-021	0.0

13 PAGE / 1 CASE

INTERLUDE-1 JHTGR SEISMIC RESPONSE

* * RESPONSE *

* TIME = 5.0000 (SEC) EARTHQUAKE = 63.427 (GAL) *

POINT NO	ACCELERATION ON (GAL)	ABSOLUTE ACC. (GAL)		RELATIVE ACC. (GAL)	VELOCITY (CM/SEC)	DISPLACEMENT NT (CM)	RELATIVE DISP. (CM)	DEFLECTION (CM)	SHEAR FORCE (TON)	TENTO HOME NT
		NO	NAME							
1	1	4	9.223E-011	1.12429E-011	-2.4662E-011	-7.6929E-011	-7.6929E-011	-7.6929E-011	-1.4607E-031	0.0
2	1	8	I196	0.9128E-011	7.2416E-011	9.3778E-011	2.3971E-011	4.3388E-011	2.2628E-031	0.0
3	1	9.192E-011	4.5265E-011	-1.4262E-011	-2.5152E-011	-1.6470E-011	-1.6470E-011	6.2016E-021	4.0311E-031	0.0
4	1	9.246E-012	7.8935E-012	-1.4260E-012	-2.5150E-012	-1.6469E-012	-1.6469E-012	3.8032E-021	4.7532E-031	0.0
5	1	6.1559E-012	2.2166E-012	-6.8598E-012	-2.3598E-012	-5.9519E-012	-5.9519E-012	2.0576E-021	3.7036E-031	0.0

14 PAGE / 1 CASE

INTERLUDE-1 JHTGR SEISMIC RESPONSE

* * RESPONSE *

* TIME = 6.0000 (SEC) EARTHQUAKE = 9.399 (GAL) *

POINT NO	ACCELERATION ON (GAL)	ABSOLUTE ACC. (GAL)		RELATIVE ACC. (GAL)	VELOCITY (CM/SEC)	DISPLACEMENT NT (CM)	RELATIVE DISP. (CM)	DEFLECTION (CM)	SHEAR FORCE (TON)	TENTO HOME NT
		NO	NAME							
1	1	-5.5291E-001	3.6625E-001	-5.5291E-001	-5.5291E-001	-1.2626E-001	-4.8933E-001	-4.8933E-001	-9.0293E-031	0.0
2	1	-4.4933E-011	1.5205E-011	-4.4933E-011	-4.4933E-011	-1.9578E-011	-1.9578E-011	-1.9578E-011	2.6216E-031	1.6464E-031
3	1	-5.7236E-011	-4.8038E-011	-5.7236E-011	-5.7236E-011	-1.3147E-011	-1.3147E-011	-1.3147E-011	2.6216E-031	1.6464E-031
4	1	-8.9371E-011	-8.0649E-011	-8.9371E-011	-8.9371E-011	-1.8466E-011	-4.0627E-021	-4.0627E-021	1.4122E-031	1.4122E-031
5	1	-1.6377E-011	-1.5428E-011	-1.6377E-011	-1.6377E-011	-2.3765E-011	-7.9959E-011	-7.9959E-011	7.0068E-021	7.0068E-021

JAERI-M 5166

15 PAGE / 1 CASE

JHTGR SEISMIC RESPONSE

* * RESPONSE * *

* TIME = 7.0000 (SEC) EARTHQUAKE = -53.624 (GAL)

POINT NO.	ACCELERATION ON (GAL)	ABSOLUTE ACC. (GAL)		RELATIVE VELOCITY (CM/SEC)		DISPLACEMENT NT (CM)		DEFLECTION DISP. (CM)		SHEAR FORCE TENTO HOME (TON)	
		ACC. (GAL)	ACC. (GAL)	VELOCITY (CM/SEC)	DISPLACEMENT NT (CM)	DEFLECTION DISP. (CM)	SHEAR FORCE TENTO HOME (TON)				
1	-5.4969E-011	-1.1332E-021	-5.9667E-011	-2.0415E-011	8.0320E-031	8.0320E-031	1.6339E-041	0.0	0.0		
2	-6.7494E-011	-1.2156E-021	-6.7946E-011	-2.0222E-011	2.8220E-032	1.9239E-021	8.7248E-041	0.0	0.0		
3	-7.1505E-011	-1.2513E-021	-7.1503E-011	-2.0117E-011	3.5374E-032	7.1538E-021	4.6500E-041	0.0	0.0		
4	-5.8983E-011	-1.1061E-021	-5.6932E-011	-1.9833E-011	3.9327E-032	3.9327E-021	3.9529E-041	0.0	0.0		
5	2.3692E-011	-2.5935E-011	2.3692E-011	-1.9754E-011	3.0594E-032	4.932E-021	1.6079E-021	0.0	0.0		

16 PAGE / 1 CASE

JHTGR SEISMIC RESPONSE

* * RESPONSE * *

* TIME = 8.0000 (SEC) EARTHQUAKE = 11.439 (GAL)

POINT NO.	ACCELERATION ON (GAL)	ABSOLUTE ACC. (GAL)		RELATIVE VELOCITY (CM/SEC)		DISPLACEMENT NT (CM)		DEFLECTION DISP. (CM)		SHEAR FORCE TENTO HOME (TON)	
		ACC. (GAL)	ACC. (GAL)	VELOCITY (CM/SEC)	DISPLACEMENT NT (CM)	DEFLECTION DISP. (CM)	SHEAR FORCE TENTO HOME (TON)				
1	4.0764E-001	1.2512E-011	4.0764E-001	2.8711E-011	-2.8254E-014	-2.8254E-014	-5.2270E-021	0.0	0.0		
2	4.2966E-001	1.5739E-011	4.2966E-001	-2.9359E-011	-7.9327E-014	-7.9327E-014	5.1571E-021	2.1208E-021	2.1208E-021		
3	6.2263E-001	1.7662E-011	6.2263E-001	-2.9537E-011	-2.9632E-011	-1.0513E-033	-2.6328E-041	-1.1135E-021	0.0	0.0	
4	1.0599E-001	2.2339E-011	1.0599E-001	-3.0569E-011	-1.6015E-033	-1.6015E-033	-6.2853E-041	-6.2853E-011	0.0	0.0	
5	3.0282E-011	4.1721E-011	3.0282E-011	-3.3812E-011	-3.7596E-031	-2.7596E-031	-2.0993E-031	-3.1791E-011	0.0	0.0	

17 PAGE / 1 CASE

JHTGR SEISMIC RESPONSE

* * RESPONSE * *

* TIME = 9.0000 (SEC) EARTHQUAKE = -29.893 (GAL)

POINT NO.	ACCELERATION ON (GAL)	ABSOLUTE ACC. (GAL)		RELATIVE VELOCITY (CM/SEC)		DISPLACEMENT NT (CM)		DEFLECTION DISP. (CM)		SHEAR FORCE TENTO HOME (TON)	
		ACC. (GAL)	ACC. (GAL)	VELOCITY (CM/SEC)	DISPLACEMENT NT (CM)	DEFLECTION DISP. (CM)	SHEAR FORCE TENTO HOME (TON)				
1	-6.4749E-011	-4.4642E-011	-6.4749E-011	-2.5037E-011	2.3136E-021	2.3136E-021	4.3357E-041	0.0	0.0		
2	-1.6587E-011	-1.9376E-021	-1.6587E-011	-2.5380E-021	8.7344E-021	8.7344E-021	6.3808E-021	2.1745E-021	2.1745E-021		
3	-2.0240E-012	-2.3131E-021	-2.0240E-012	-2.0228E-021	-2.5456E-021	1.1360E-021	1.1360E-021	2.4352E-021	1.0449E-021	1.0449E-021	
4	-2.9013E-012	-3.2990E-021	-2.9013E-012	-2.9701E-021	-2.5458E-021	1.7437E-021	1.7437E-021	5.4773E-021	5.4773E-021	5.4773E-021	
5	-4.6277E-012	-4.9266E-021	-4.6277E-012	-4.6277E-021	-2.4627E-021	3.3049E-021	3.3049E-021	2.1010E-021	2.1010E-021	2.1010E-021	

18 PAGE / 1 CASE

INTERLUDE-1

J H T G R S E I S M I C R E S P O N E
* * R E S P O N C E * *

* TIME = 10.0000 (SEC) EARTHQUAKE = 25.987 (GAL)

POINT NO.	ACCELERATION ON (GAL)	ABSOLUTE ACC. (GAL)	RELATIVE ACC. (GAL)	VELOCITY (CM/SEC)	DISPLACEMENT (CM)	DEFLECTION (CM)	SHEAR FORCE (TON)	TENTO MODE NT
1	3.0379E-01	5.6346E-01	3.0379E-01	-1.9315E-01	1.4985E-03	-1.4380E-03	-2.6503E-03	1
2	2.6536E-01	5.2552E-01	2.6536E-01	-2.0835E-01	1.9835E-03	-5.4570E-03	-2.4588E-03	0.0
3	2.3985E-01	4.8349E-01	2.3985E-01	2.2398E-01	1.9916E-04	-1.4553E-03	9.4466E-03	0.0
4	2.3288E-01	4.7721E-01	2.3288E-01	2.1771E-01	1.9916E-04	1.4553E-03	1.7114E-02	0.0
5	-1.7430E-02	-1.4733E-02	-1.7430E-02	-1.7277E-02	1.0883E-02	1.7114E-02	1.7300E-02	0.0

19 PAGE / 1 CASE

INTERLUDE-1

J H T G R S E I S M I C R E S P O N C E
* * R E S P O N C E * *

* TIME = 11.0000 (SEC) EARTHQUAKE = -5.236 (GAL)

POINT NO.	ACCELERATION ON (GAL)	ABSOLUTE ACC. (GAL)	RELATIVE ACC. (GAL)	VELOCITY (CM/SEC)	DISPLACEMENT (CM)	DEFLECTION (CM)	SHEAR FORCE (TON)	TENTO MODE NT
1	-5.9067E-01	-1.0243E-01	-5.9067E-01	-1.6192E-01	5.9903E-03	5.9903E-03	1.1602E-04	1
2	-4.7169E-01	-5.2966E-01	-4.7169E-01	-1.7575E-01	2.4117E-02	2.4117E-02	1.8127E-03	0.0
3	-8.0338E-01	-8.5504E-01	-8.0338E-01	-8.0328E-01	1.1772E-01	3.2076E-02	3.2076E-02	0.0
4	-6.2116E-01	-6.7333E-01	-6.2116E-01	-6.2116E-01	1.6133E-01	3.1666E-02	4.5927E-03	0.0
5	-3.9395E-01	-3.7631E-01	-3.9395E-01	-3.2105E-01	-9.0191E-01	3.1385E-02	5.2851E-02	0.0

20 PAGE / 1 CASE

INTERLUDE-1

J H T G R S E I S M I C R E S P O N C E
* * R E S P O N C E * *

* TIME = 12.0000 (SEC) EARTHQUAKE = 71.140 (GAL)

POINT NO.	ACCELERATION ON (GAL)	ABSOLUTE ACC. (GAL)	RELATIVE ACC. (GAL)	VELOCITY (CM/SEC)	DISPLACEMENT (CM)	DEFLECTION (CM)	SHEAR FORCE (TON)	TENTO MODE NT
1	7.8409E-01	1.4935E-02	7.8409E-01	-1.8459E-01	-1.3802E-02	-1.3802E-02	-1.3802E-02	1
2	1.0262E-01	1.7676E-02	1.0262E-01	1.0262E-02	-1.9160E-02	-4.6160E-02	-4.6160E-02	0.0
3	1.1432E-01	1.8537E-02	1.1432E-01	1.1473E-02	-1.9971E-02	-5.3927E-02	-5.3927E-02	0.0
4	1.1594E-02	1.8709E-02	1.1594E-02	1.1595E-02	-2.0120E-02	-7.5025E-02	-7.5025E-02	0.0
5	9.7103E-01	1.6824E-02	9.7103E-01	-2.1690E-01	-1.0356E-01	-1.0356E-01	-2.0356E-01	0.0

JAERI-M 5166

21 PAGE / 1 CASE

INTERLUDE-1

JHTGR SEISMIC RESPONSE * * RESPONSE *

* TIME = 13,0000 (SEC) EARTHQUAKE = +52.750 (GAL) *

POINT NO.	ACCELERATION ON GALS	ABSOLUTE ACC. (GAL)	RELATIVE VELOCITY (CM/SEC)	DISPLACEMENT NT (CM)	DEFLECTION		SHEAR FORCE (TON)	TENTO HOME NT
					DISP. (CM)	DEF. (CM)		
1	-2.908E-01	-1.118E-02	-5.904E-01	-2.11539E-01	1.9775E-02	1.0575E-02	1.2645E-02	0.0
2	-2.390E-01	-2.2628E-02	-7.349E-01	-2.181E-01	3.9396E-02	2.2919E-02	2.4821E-02	0.0
3	-1.089E-01	-1.314E-02	-8.661E-01	-2.204E-01	4.5018E-02	2.5015E-02	1.0115E-02	0.0
4	-4.633E-01	-1.393E-02	-8.633E-01	-2.251E-01	6.1551E-02	9.1551E-02	1.0525E-02	0.0
5	-3.526E-01	-1.387E-02	-8.595E-01	-2.244E-01	9.0824E-02	9.8824E-02	6.1268E-02	0.0

22 PAGE / 1 CASE

INTERLUDE-1

JHTGR SEISMIC RESPONSE * * RESPONSE *

* TIME = 14,0000 (SEC) EARTHQUAKE = 17.185 (GAL) *

POINT NO.	ACCELERATION ON GALS	ABSOLUTE ACC. (GAL)	RELATIVE VELOCITY (CM/SEC)	DISPLACEMENT NT (CM)	DEFLECTION		SHEAR FORCE (TON)	TENTO HOME NT
					DISP. (CM)	DEF. (CM)		
1	1.6422E-01	3.1807E-01	1.4422E-01	-1.6807E-01	1.4212E-03	1.4212E-03	1.4212E-03	0.0
2	-2.132E-01	1.4422E-01	-2.132E-01	-1.705E-01	7.7176E-03	7.7176E-03	6.3061E-03	0.0
3	-1.524E-01	2.222E-01	2.492E-01	1.752E-01	1.1712E-02	1.1712E-02	2.3948E-03	0.0
4	-2.534E-01	-4.156E-01	-2.514E-01	-1.757E-01	2.8017E-02	4.8017E-02	1.6963E-02	0.0
5	-1.345E-01	-1.323E-01	-2.145E-02	-1.592E-01	6.253E-02	5.3593E-02	1.6325E-02	0.0

23 PAGE / 1 CASE

INTERLUDE-1

JHTGR SEISMIC RESPONSE * * RESPONSE *

* TIME = 15,0000 (SEC) EARTHQUAKE = -18.296 (GAL) *

POINT NO.	ACCELERATION ON GALS	ABSOLUTE ACC. (GAL)	RELATIVE VELOCITY (CM/SEC)	DISPLACEMENT NT (CM)	DEFLECTION		SHEAR FORCE (TON)	TENTO HOME NT
					DISP. (CM)	DEF. (CM)		
1	1.1390E-01	-5.1325E-01	-1.7325E-01	5.1432E-01	5.1432E-01	5.1432E-01	5.1432E-01	0.0
2	-1.495E-01	-1.320E-01	-4.933E-01	-1.395E-01	1.953E-01	1.953E-01	1.4938E-01	0.0
3	-1.209E-01	-1.151E-01	-7.120E-01	-1.541E-01	1.115E-01	1.115E-01	1.2475E-01	0.0
4	-7.435E-01	-2.680E-01	-7.435E-01	-1.925E-01	-2.147E-01	-2.147E-01	2.5522E-01	1.6532E-01
5	2.3497E-01	2.7867E-01	2.7687E-02	-1.195E-01	-1.057E-01	-1.057E-01	-2.0877E-02	-0.0877E-02

CASE 1-NORMAL END.

JHTGR SEISMIC RESPONSE

INTERLUDE-1

** MAXIMUM VALUE *

24 PAGE / 1 CASE

POINT NO.	ACCELERATION ON (GAL)	RELATIVE ACC. (GAL)	VELOCITY (CM/SEC)	DISPLACEMENT (CM)	RELATIVE DEFLECTION (CM)	SHEAR FORCE (TON)	TENTO HOME NT
1	2.021E-02	3.5557E-02	2.021E-02	3.5571E-011	5.7291E-021	1.0599E-051	0.0
2	2.739E-02	5.0462E-02	3.7396E-02	3.9052E-011	2.0923E-011	1.519E-011	6.832E-041
3	4.692E-02	5.3641E-02	4.6924E-02	4.2084E-011	2.7901E-011	6.978E-011	4.532E-041
4	7.321E-02	6.5935E-02	7.3219E-02	6.8449E-011	4.4424E-011	4.842E-011	1.6523E-041
5	1.5559E-03	1.6827E-03	1.5555E-03	6.8449E-011	9.5332E-011	5.2332E-011	9.4203E-031

JHTGR-SIMULATED RESPONSE AND TIME * * *

INTERLUDE-1

25 PAGE / 1 CASE

POINT NO.	ACCELERATION ON (GAL)	RELATIVE ACC. (GAL)	VELOCITY (CM/SEC)	DISPLACEMENT (CM)	RELATIVE DEFLECTION (CM)	SHEAR FORCE (TON)	TENTO HOME NT
TIME(SEC)	TIME(SEC)	TIME(SEC)	TIME(SEC)	TIME(SEC)	TIME(SEC)	TIME(SEC)	TIME(SEC)
1	2.021E-02	3.5557E-02	2.051E-02	3.5551E-011	5.7291E-021	1.0599E-051	0.0
1	4.8400E-01	4.8400E-01	4.8400E-00	2.1200E-001	4.8600E-001	4.8600E-001	1.5000E-011
2	3.7396E-02	5.0462E-02	3.7396E-02	3.9052E-011	2.0923E-011	1.519E-011	6.832E-041
2	4.8600E-01	4.8600E-01	4.8600E-00	4.9000E-001	4.8600E-001	4.8600E-001	1.5000E-011
3	4.6924E-02	5.3641E-02	4.6924E-02	4.2084E-011	2.7901E-011	6.978E-011	4.532E-041
3	4.8600E-01	4.8600E-01	4.8600E-00	4.9000E-001	4.8600E-001	4.8600E-001	1.5000E-011
4	7.321E-02	6.5935E-02	7.3219E-02	6.8449E-011	4.4424E-011	4.4424E-011	1.6523E-041
4	4.8600E-01	4.8600E-01	4.8600E-00	4.9000E-001	4.8600E-001	4.8600E-001	1.5000E-011
5	1.5559E-03	1.6827E-03	1.5555E-03	6.8449E-011	9.5332E-011	5.2332E-011	9.4203E-031
5	4.8600E-01	4.8600E-01	4.8600E-00	4.9000E-001	4.8600E-001	4.8600E-001	1.5000E-011

JHTGR SEISMIC RESPONSE

INTERLUDE-1

26 PAGE / 1 CASE

POINT NO.	ACCELERATION ON (GAL)	RELATIVE ACCELERATION	VELOCITY	DISPLACEMENT	RELATIVE DISPLACEMENT	DEFLECTION	SHEAR FORCE TENTO HOME NT
TIME(SEC)	TIME(SEC)	TIME(SEC)	TIME(SEC)	TIME(SEC)	TIME(SEC)	TIME(SEC)	TIME(SEC)
1	4.8600	4.8600	4.8600	2.1200	4.8600	4.8600	15.0000
2	4.8600	4.8600	4.8600	4.9000	4.8600	4.8600	15.0000
3	4.8600	4.8600	4.8600	4.9000	4.8600	4.8600	15.0000
4	4.8600	4.8600	4.8600	4.9000	4.8600	4.8600	15.0000
5	4.8600	4.8600	4.8600	4.9000	4.8600	4.8600	15.0000

LAST CARD

JOB IS NORMALLY FINISHED

* END OF FORTRAN * 77

27 PAGE / 2 CASE

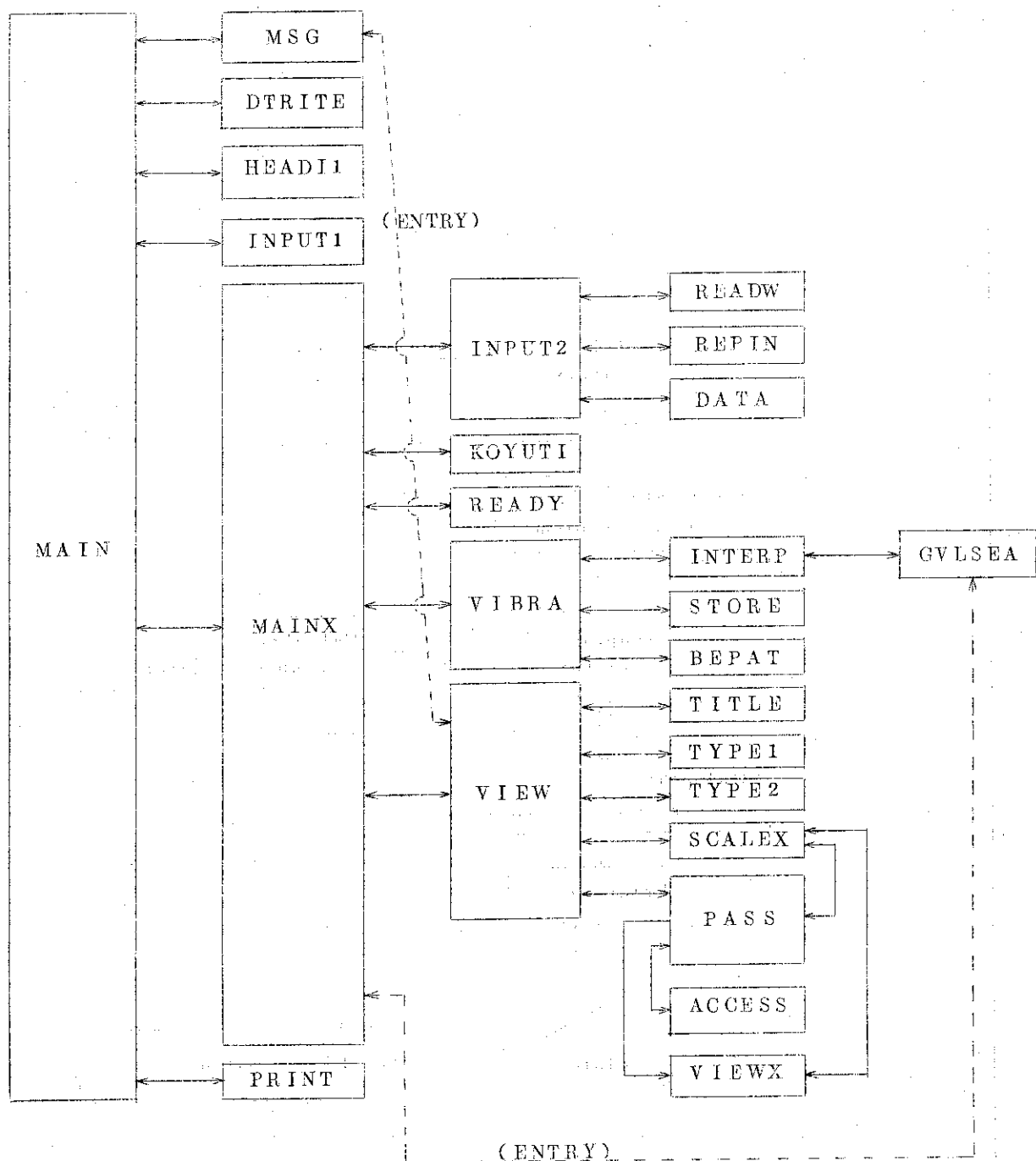


Fig. 3.1 Structure of code INTERLUDE - 1

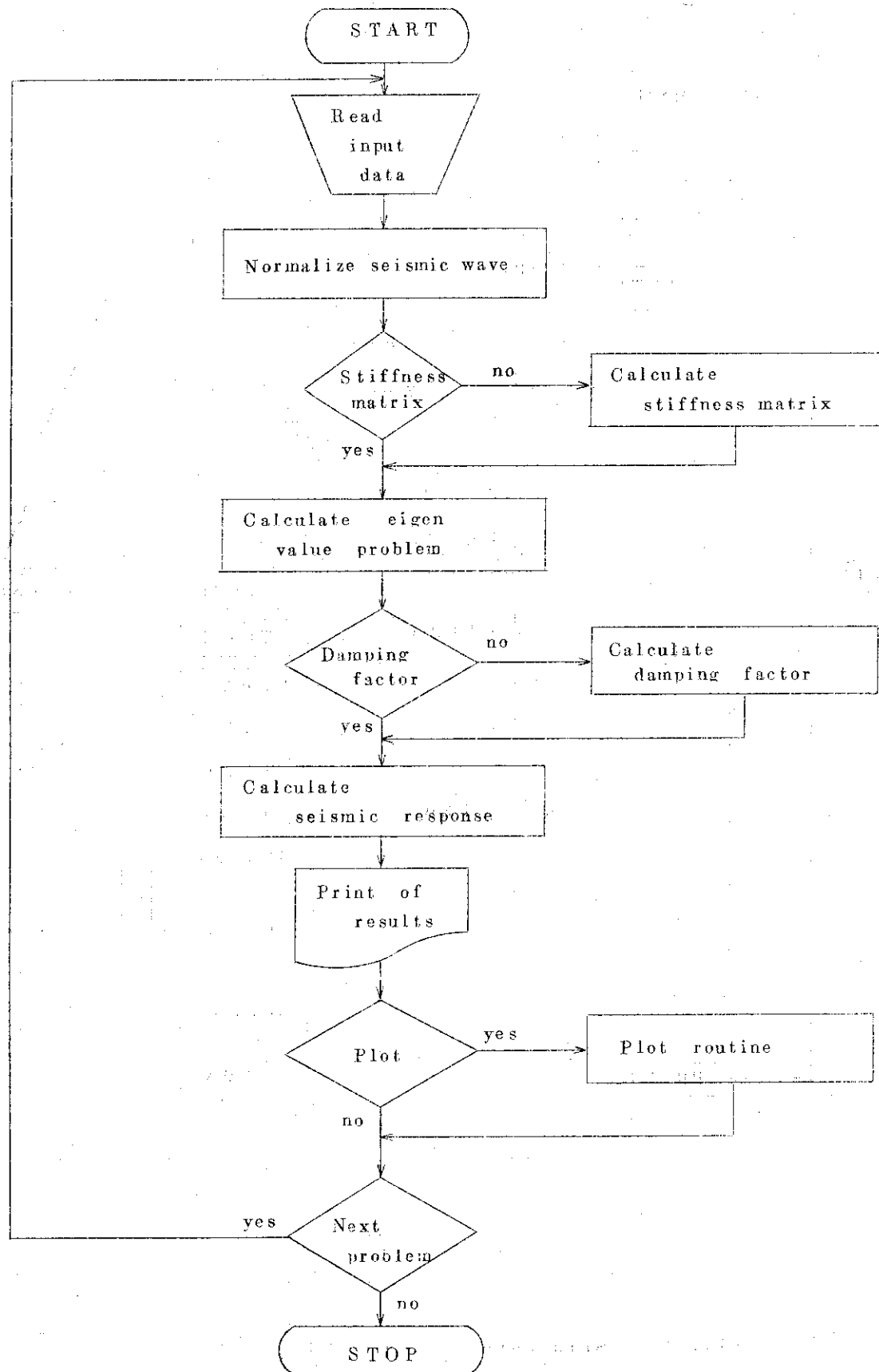


Fig. 3.2 Flow sheet of calculation

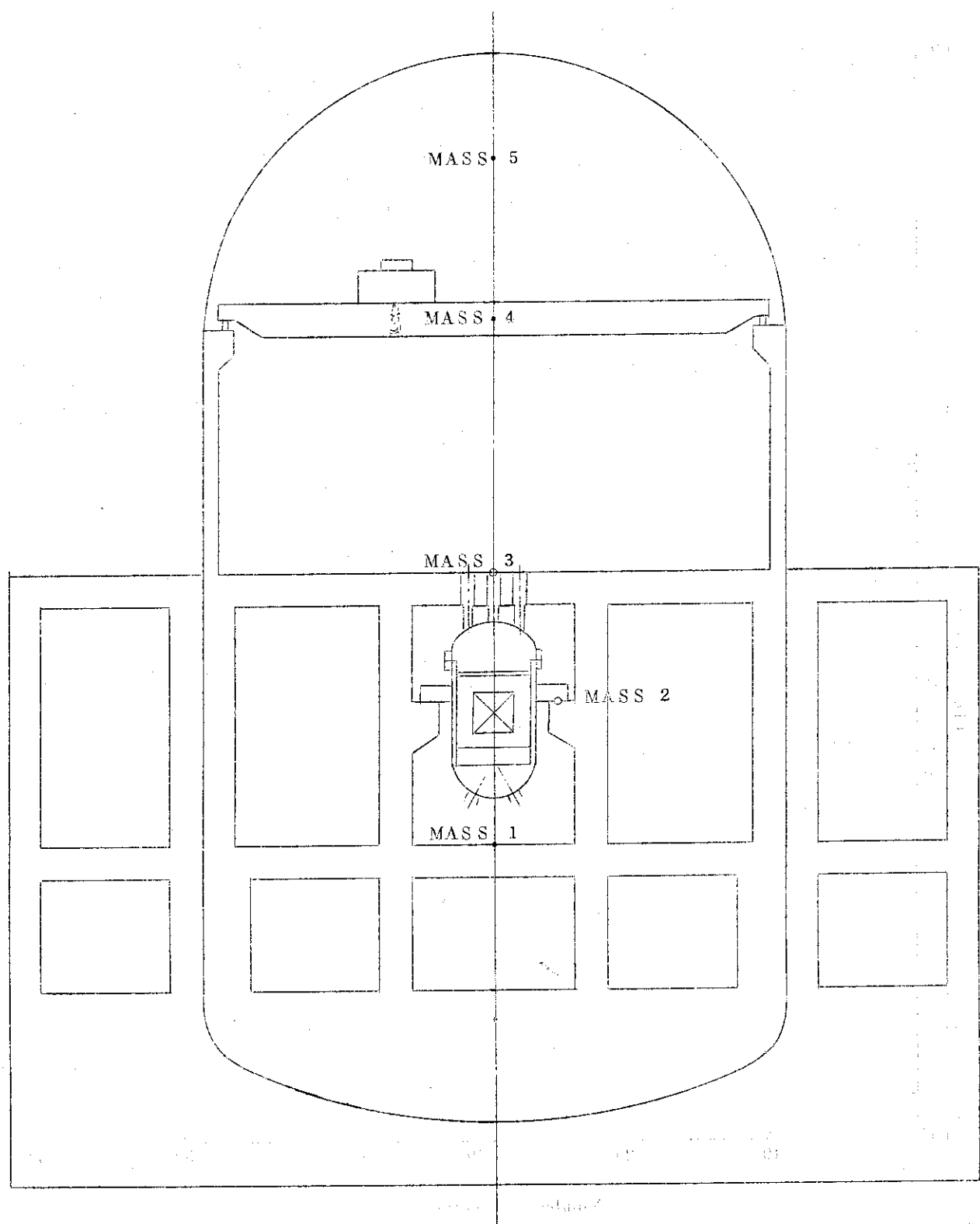


Fig. 3.3 Model for vibration analysis

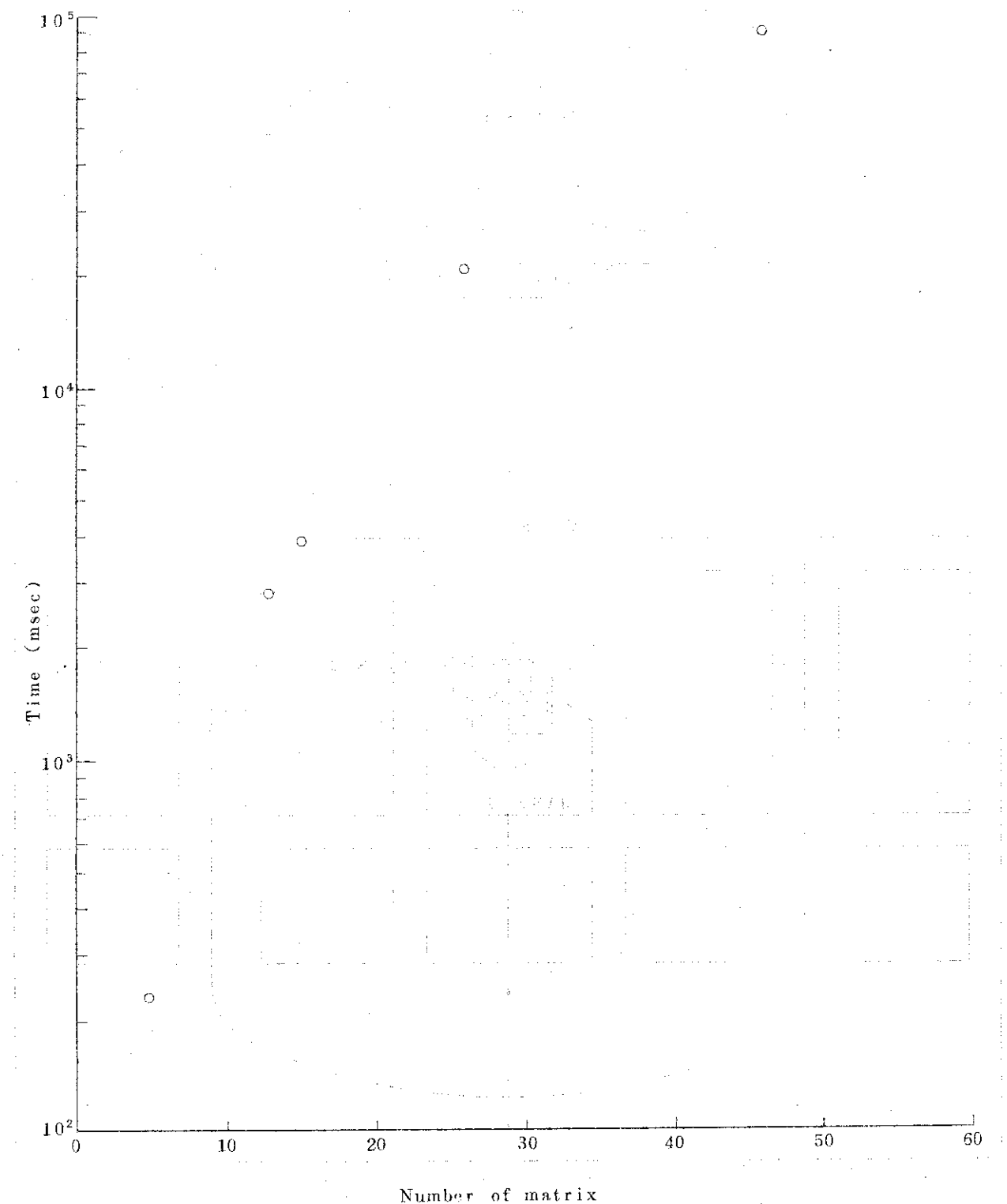


Fig. 3.4 Calculation time of eigen value problem
(Jacobi threshold method)

EL CENTRO 40NS
GALMAX = 180. (GAL)

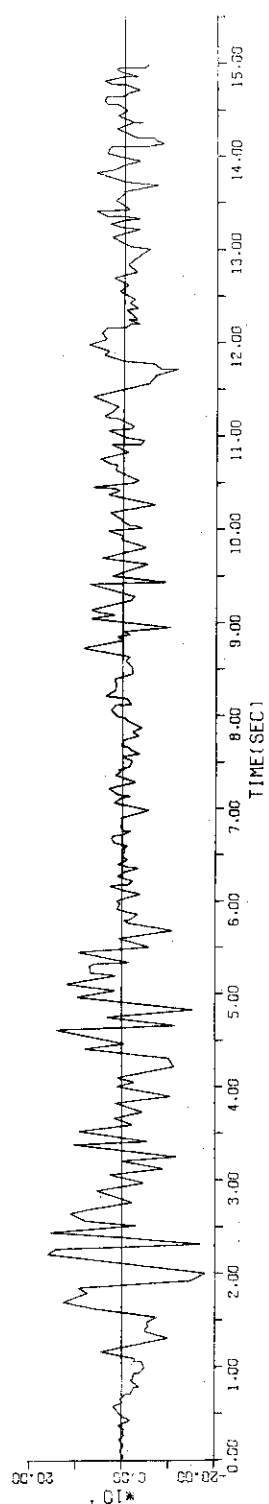


Fig. 3. 4 (a) Seismic response of container (seismic wave)

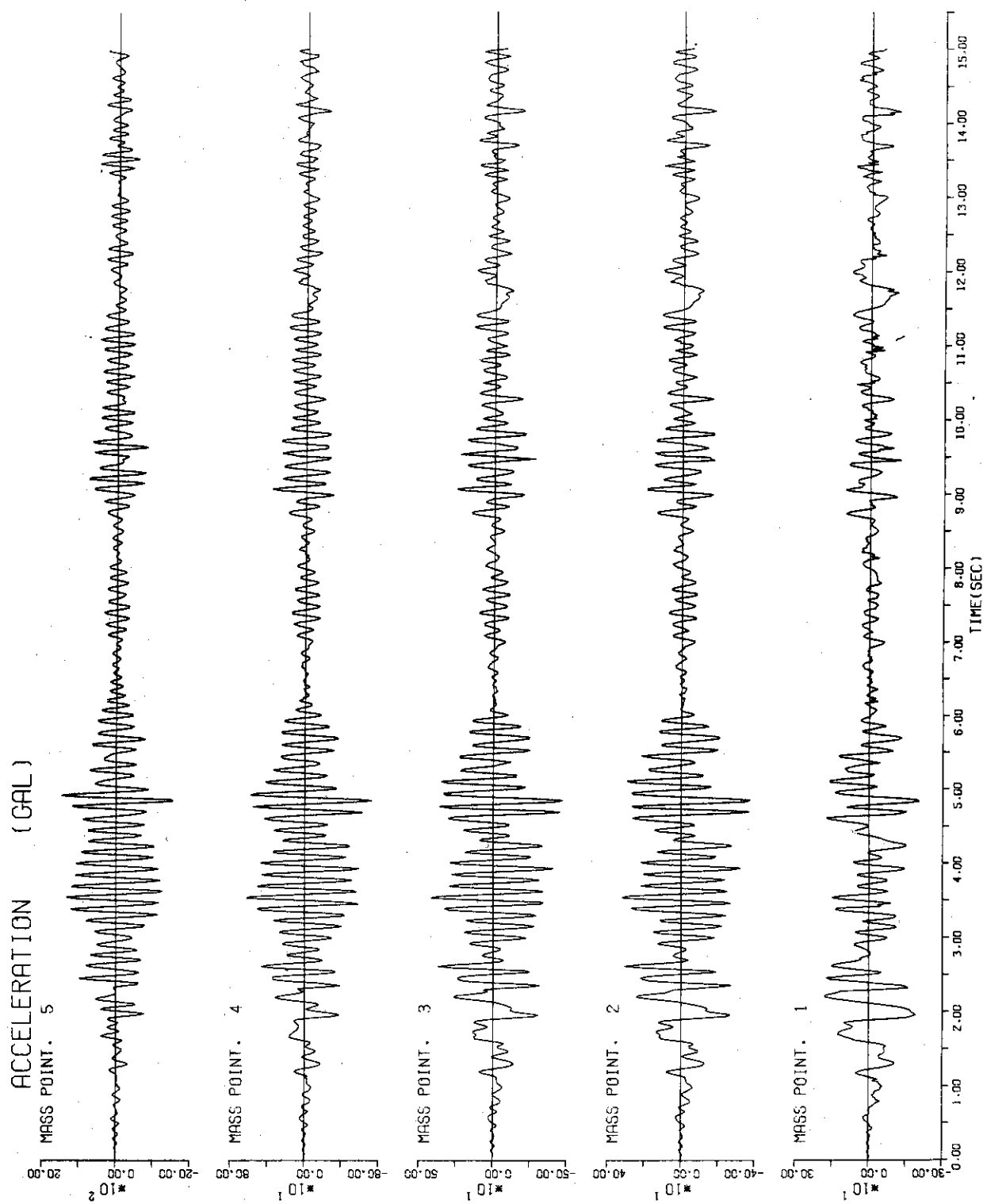


Fig. 3.4 (b) Seismic response of container (response acceleration) -

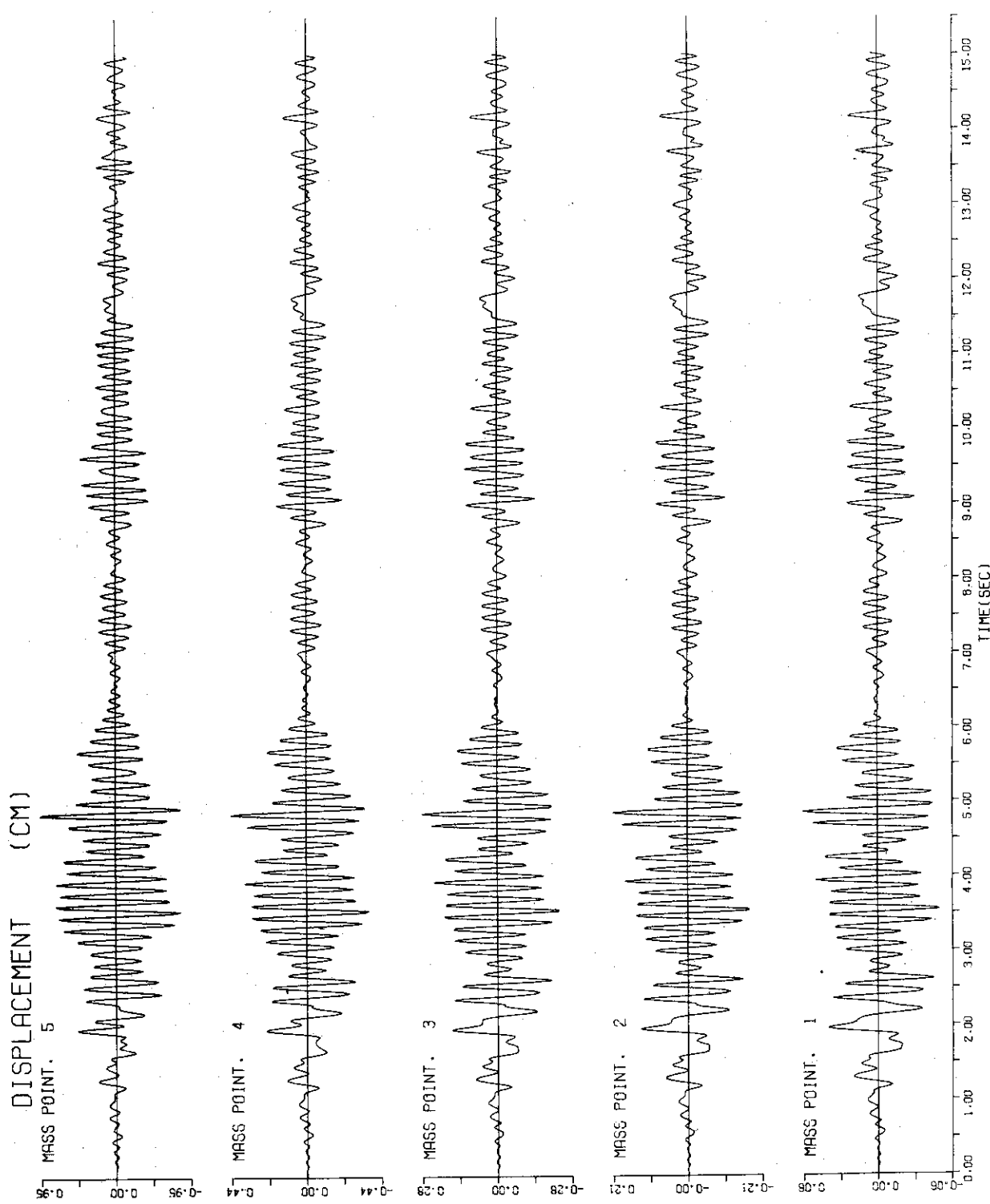


Fig. 3.4 (c) Seismic response of container (response displacement)

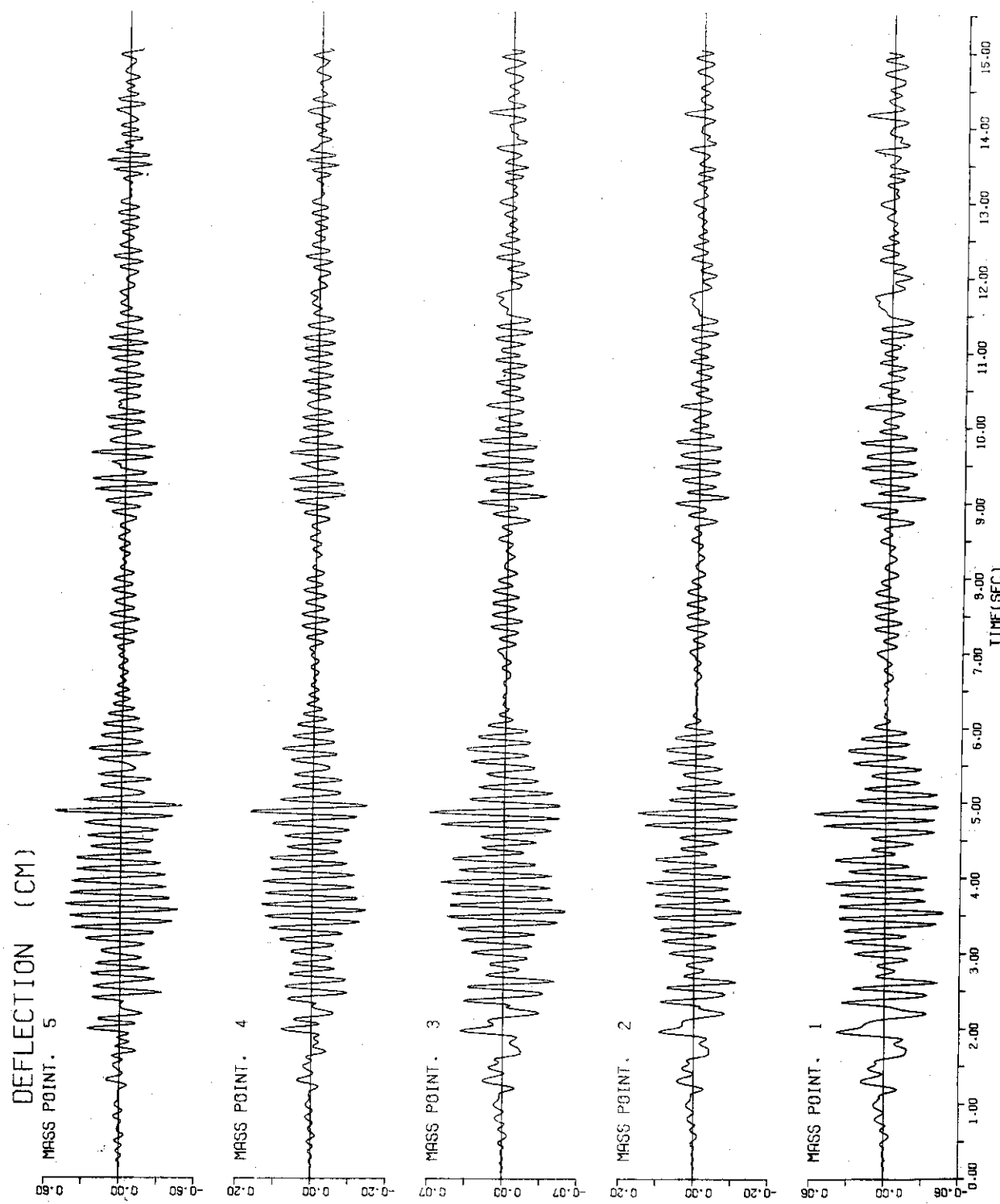


Fig. 3.4 (d) Seismic response of container (response deflection)

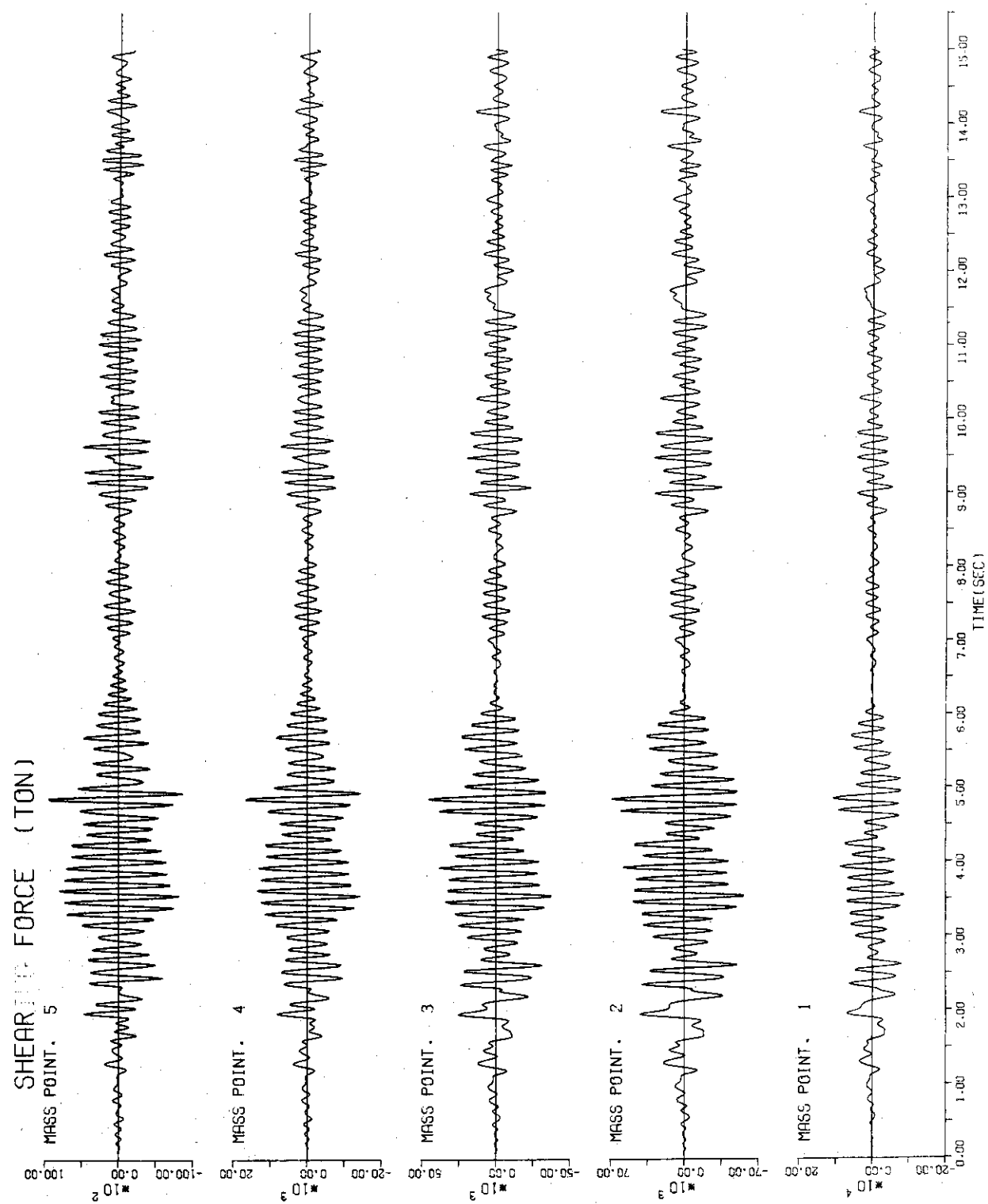


Fig. 3.4 (e) Seismic response of container (response shear force)